

A. M. Kovrijnix

К ВОПРОСУ ОХРУПЧИВАНИЯ МЕТАЛЛА ПРИ ПЛАСТИЧЕСКОМ ДЕФОРМИРОВАНИИ

В настоящее время хорошо известен экспериментальный факт различия угла наклона линий скольжения в металлах при растяжении и сжатии [1]. Качественное объяснение этого факта и количественное определение возникающих при этом пластических деформаций возможны с позиции теории [2], учитывающей разную сопротивляемость материалов пластическому деформированию при растяжении и сжатии. В [2] для металлов в области растягивающих напряжений применяется условие пластичности Кулона—Мора, которое позволяет при наличии дополнительной характеристики материала угла внутреннего трения установить точное соответствие между пределами текучести при одноосном растяжении и кручении. В [2] также показано, что рост пластической деформации приводит к увеличению угла внутреннего трения — охрупчиванию металла. Традиционные методы решения статически определимых задач [3, 4] основаны на условии пластичности Треска — Сен-Венана.

В данной работе для решения некоторого класса таких задач предлагается использовать для металлов условие пластичности Кулона — Мора, которое ранее применялось в статике сыпучих сред [5]. С этой позиции рассматриваются задачи плоской деформации жесткоупругой среды: растяжение и сжатие полосы, ослабленной вырезами, и волочение полосы сквозь короткую матрицу.

1. Обозначим главные нормальные напряжения σ_i , $i = 1, 2, 3$, при чем пронумеруем главные оси тензора напряжений 1, 2, 3 так, что $\sigma_1 \geq \sigma_2 \geq \sigma_3$. Тогда условие пластичности Кулона — Мора можно записать в виде

$$(1.1) \quad T/\cos \varphi + \sigma \tan \varphi = k,$$

где $T = (\sigma_1 - \sigma_3)/2$; $\sigma = (\sigma_1 + \sigma_3)/2$; φ — угол внутреннего трения; k — пластическая постоянная. Плоскости, на которых достигается условие (1.1), называют плоскостями скольжения, они проходят через второе главное направление и составляют с первым углы $\pm(\pi/4 + \varphi/2)$ [5]. Угол внутреннего трения отражает влияние нормального напряжения на предельное значение касательного напряжения на этих плоскостях. Пластическая постоянная $k = 0,5(1 + \sin \varphi)\sigma_s/\cos \varphi$ (σ_s — предел текучести при одноосном растяжении).

Если τ_s — предел текучести при кручении, то из (1.1) $\sin \varphi = 0,5 \times \sigma_s/\tau_s = 1$. Для условия пластичности Треска — Сен-Венана $\varphi = 0$. Из условия пластичности Мизеса $\sigma_s/\tau_s = \sqrt{3}$, поэтому для тех металлов, началь пластиичности которых лучше описывается условием Мизеса, чем Треска, следует принять $\sin \varphi = 0,15$ ($\varphi = 9^\circ$).

Известно, что ассоциированный закон течения [6, 7] приводит к обратимому изменению объема материала — дилатансии. Однако этот факт, характерный для большинства горных пород и сыпучих сред, не столь существен при однократном нагружении пластичных металлов, изменение объема которых происходит упруго. В связи с чем в [2] предлагается теория пластичности, которая независимо учитывает эффекты внутреннего трения и дилатансии, основываясь на дополнительных экспериментальных данных. Это обстоятельство позволяет для пластически несжимаемых металлов использовать условие пластичности Кулона — Мора (1.1).

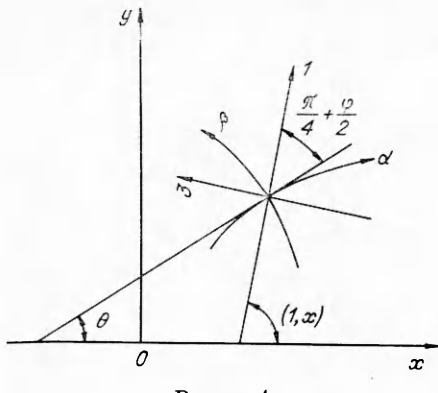


Рис. 1

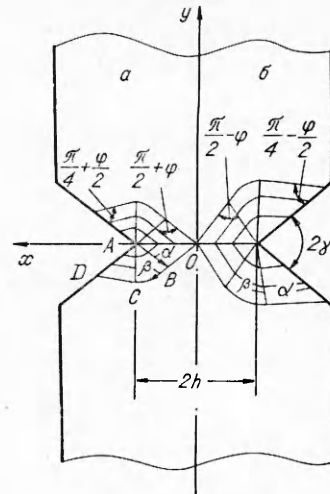


Рис. 2

Изучим плоскую деформацию идеальной пластической среды в рамках жесткопластической схемы [3, 4]. Ограничимся определением поля напряжений в задачах о растяжении и сжатии полосы с вырезами и волочении полосы сквозь короткую матрицу.

Рассмотрим произвольную ортогональную систему координат x, y, z (рис. 1). Ось z является главной и совпадает с направлением \mathcal{Z} . В системе координат x, y имеем

$$(1.2) \quad \begin{aligned} \sigma_x &= \frac{\sigma_1 + \sigma_3}{2} + \frac{\sigma_1 - \sigma_3}{2} \cos 2(1, x), \\ \sigma_y &= \frac{\sigma_1 + \sigma_3}{2} - \frac{\sigma_1 - \sigma_3}{2} \cos 2(1, x), \quad \tau_{xy} = \frac{\sigma_1 - \sigma_3}{2} \sin 2(1, x) \end{aligned}$$

((1, x) — угол, который образует первое главное направление с осью x).

Линией скольжения в плоскости x, y называют линию, в каждой своей точке касающуюся плоскости скольжения [5]. Очевидно, что имеется два семейства таких линий: α и β (α отклоняется вправо от первого главного направления на угол $\pi/4 + \phi/2$, β — влево на тот же угол).

Обозначим θ угол, который образует α -линия с осью x , тогда, как видно из рис. 1, $(1, x) = \pi/4 + \phi/2 + \theta$. С учетом этой замены из (1.2) следует

$$(1.3) \quad \begin{aligned} \sigma_x &= \sigma - T \sin(2\theta + \phi), \\ \sigma_y &= \sigma + T \sin(2\theta + \phi), \quad \tau_{xy} = T \cos(2\theta + \phi). \end{aligned}$$

Основными уравнениями при определении поля напряжений в пластической зоне являются прежде всего уравнения плоского равновесия

$$(1.4) \quad \begin{aligned} \partial \sigma_x / \partial x + \partial \tau_{xy} / \partial y &= 0, \\ \partial \tau_{xy} / \partial x + \partial \sigma_y / \partial y &= 0, \end{aligned}$$

которые вместе с (1.1) и граничными условиями в напряжениях составляют статически определимую задачу [5].

Подставляя (1.3) в (1.4), получим

$$(1.5) \quad \begin{aligned} (1 + \sin \phi \sin(2\theta + \phi)) \partial \sigma / \partial x - 2T \cos(2\theta + \phi) \partial \theta / \partial x - \sin \phi \cos(2\theta + \phi) \partial \sigma / \partial y - 2T \sin(2\theta + \phi) \partial \theta / \partial y &= 0, \end{aligned}$$

$$\begin{aligned} & -\sin \varphi \cos(2\theta + \varphi) \partial \sigma / \partial x - 2T \sin(2\theta + \varphi) \partial \theta / \partial x + \\ & + (1 - \sin \varphi \sin(2\theta + \varphi)) \partial \sigma / \partial y + 2T \cos(2\theta + \varphi) \partial \theta / \partial y = 0 \\ & (T = (\sigma_1 - \sigma_3)/2 = k \cos \varphi - \sigma \sin \varphi). \end{aligned}$$

Система уравнений (1.5) гиперболическая, ее характеристики совпадают с линиями скольжения α , β . Дифференциальные уравнения семейств α , β соответственно равны

$$(1.6) \quad dy/dx = \operatorname{tg} \theta, \quad dy/dx = -\operatorname{ctg}(\theta + \varphi).$$

Уравнения равновесия могут быть заменены соотношениями на характеристиках, полученными впервые Кёттером в 1903 г.:

$$(1.7) \quad \begin{aligned} \operatorname{ctg} \varphi \ln(1 - (\sigma/k) \operatorname{tg} \varphi) + 2\theta &= \xi \text{ вдоль } \alpha\text{-линии,} \\ \operatorname{ctg} \varphi \ln(1 - (\sigma/k) \operatorname{tg} \varphi) - 2\theta &= \eta \text{ вдоль } \beta\text{-линии.} \end{aligned}$$

2. Рассмотрим задачу растяжения (сжатия) полосы с угловыми вырезами в условиях плоской деформации. В традиционной постановке для металлов ($\varphi = 0$) решение приводится, например, в [3, 4], и в этом случае как для растяжения, так и для сжатия поле линий скольжения одно и тоже. Предельная нагрузка P вычисляется по формуле

$$P/(2h\sigma_s) = q/\sigma_s = 1 + \pi/2 - \gamma.$$

Если $\varphi > 0$, то пластическая зона и геометрия линий скольжения для растяжения полосы и для ее сжатия будут разными. На рис. 2, а, б приводятся сетки линий скольжения соответственно для растяжения и для сжатия полосы с угловыми вырезами.

Пусть в направлении y (рис. 2, а) осуществляется растяжение полосы с угловыми вырезами. Поскольку боковые вырезы свободны от напряжений, то из граничного условия на AD находим $\theta = -\gamma - \pi/4 - \varphi/2$, $\sigma = k \cos \varphi / (1 + \sin \varphi)$. На AO имеем $\theta = -3\pi/4 - \varphi/2$, $\sigma_y = q^+ = k \cos \varphi + \sigma^+ (1 - \sin \varphi)$. Используя теперь вдоль β -линии OB соотношение (1.7), получим

$$\begin{aligned} & \operatorname{ctg} \varphi \ln \left(1 - \frac{\sigma^+}{k} \operatorname{tg} \varphi \right) + 2 \left(\frac{3}{4} \pi + \frac{\varphi}{2} \right) = \\ & = \operatorname{ctg} \varphi \ln \left(1 - \frac{\cos \varphi}{1 + \sin \varphi} \operatorname{tg} \varphi \right) + 2 \left(\gamma + \frac{\pi}{4} + \frac{\varphi}{2} \right), \end{aligned}$$

откуда следует, что

$$(2.1) \quad \frac{q^+}{\sigma_s} = \frac{1 + \sin \varphi}{2 \sin \varphi} \left(1 - \frac{1 - \sin \varphi}{1 + \sin \varphi} e^{-(\pi - 2\gamma) \operatorname{tg} \varphi} \right).$$

Предельная нагрузка P^+ для растяжения полосы с вырезами определяется по формуле $P^+ = 2q^+h$.

В случае сжатия полосы (см. рис. 2, б), не останавливаясь на легко выполняемых вычислениях, приходим к следующему значению предельной нагрузки $P^- = 2q^-h$:

$$(2.2) \quad \frac{q^-}{\sigma_c} = \frac{1 - \sin \varphi}{2 \sin \varphi} \frac{(1 + \sin \varphi)}{(1 - \sin \varphi)} e^{(\pi - 2\gamma) \operatorname{tg} \varphi} - 1$$

(σ_c — предел текучести при одноосном сжатии).

В таблице для материалов с различными углами внутреннего трения приводятся результаты расчета предельных нагрузок по формулам (2.1) и (2.2) для растяжения и сжатия полосы с углами $\gamma = 0, 30^\circ$. Из анализа приведенных результатов следует, что угол внутреннего трения существенно влияет на величину предельной нагрузки как при растяжении полосы, так и при сжатии.

3. Большой интерес для процессов обработки металлов давлением представляет класс задач, в которых напряжения и скорости в каждой точке плоскости течения x, y не изменяются со временем, а пластическое

φ	q^+/σ_s	q^-/σ_c	q^+/σ_s	q^-/σ_c
	$\gamma=0$		$\gamma=30^\circ$	
0	2,57	2,57	2,05	2,05
5°	2,26	2,97	1,88	2,25
10°	2,01	3,50	1,73	2,51
15°	1,82	4,21	1,62	2,83
20°	1,66	5,19	1,51	3,24

течение является установившимся. Рассмотрим одну из таких задач. Приступим к изучению поля напряжений в жесткопластической полосе при волочении ее между неподвижными гладкими стенками матрицы, образующими углы γ с осью x (рис. 3). Обозначим начальную толщину полосы H , конечную — h . Предположим, что матрица имеет небольшую длину, а пластическая зона состоит из областей, изображенных на рис. 3. Аналогичная задача для идеально пластического материала в традиционной постановке ($\varphi = 0$) решена в [3]. Сформулируем граничные условия рассматриваемой задачи для верхней половины полосы, считая, что вдоль всей контактной прямой AO действует равномерно распределенное давление. Для упрощения решения задачи трением на плоскостях контакта полосы и матрицы пренебрежем. Таким образом, на AO у вектора напряжения есть лишь нормальная составляющая, равная $-q$. Поэтому в треугольнике AOC имеем $\theta = -\gamma - \varphi/2 - \pi/4$, $\sigma = \sigma^C = -q/(1 + \sin \varphi) + k \cos \varphi/(1 + \sin \varphi)$.

На основе соотношения (1.7) вдоль линий скольжения CD и BD получим

$$\ln \left[\left(1 - \frac{\sigma^C}{k} \operatorname{tg} \varphi \right) / \left(1 - \frac{\sigma^B}{k} \operatorname{tg} \varphi \right) \right] = 2 \operatorname{tg} \varphi (2\alpha + \gamma).$$

С другой стороны, используя (1.7) на линиях CF и BF , запишем

$$\ln \left[\left(1 - \frac{\sigma^C}{k} \operatorname{tg} \varphi \right) / \left(1 - \frac{\sigma^B}{k} \operatorname{tg} \varphi \right) \right] = 2 \operatorname{tg} \varphi (2\psi - \gamma).$$

Из двух найденных соотношений следует, что $\psi = \alpha + \gamma$. Аналогичное соотношение между углами ψ , α и γ имеет место в известном решении Хилла Р. и др. [3] для металлов без внутреннего трения.

Из рис. 3 легко видеть, что максимальная степень деформации $\varepsilon = (H - h)/H$ достигается, когда $\alpha = 0$. Тогда точка C сливаются с D , точка B с F . Рассмотрим подробнее этот частный случай, для которого задача решается аналитически (рис. 4). На OB

$$(3.1) \quad \begin{aligned} \theta &= -\pi/4 - \varphi/2, \quad \sigma = \sigma^B, \\ \sigma_x &= \sigma^B(1 - \sin \varphi) + k \cos \varphi, \\ \sigma_y &= \sigma^B(1 + \sin \varphi) - k \cos \varphi, \quad \tau_{xy} = 0. \end{aligned}$$

Используя соотношение (1.7) вдоль α -линии ADB , получим

$$(3.2) \quad \sigma^B = k \operatorname{ctg} \varphi (1 - (1 - (\sigma^C/k) \operatorname{tg} \varphi) e^{-2\gamma \operatorname{tg} \varphi}).$$

Определяя из граничного условия на AO σ^C через q и подставляя в (3.2), в результате с учетом (3.1) можно найти горизонтальную составляющую усилия на AO , равную $p = q(H - h)$. Отсюда

$$(3.3) \quad \frac{q}{\sigma_s} = \frac{(1 + \sin \varphi) ((1 + \sin \varphi + \operatorname{ctg} \varphi) (1 - \sin \varphi) e^{2\gamma \operatorname{tg} \varphi} - \operatorname{ctg} \varphi)}{2 \cos \varphi (2 \sin \gamma (1 + \sin \varphi) e^{\gamma \operatorname{tg} \varphi} + \cos \varphi)}.$$

В рассматриваемом частном случае из геометрии линий скольжения ясно, что

$$(3.4) \quad (H - h)/h = 2 \sin \gamma \operatorname{ctg}(\pi/4 + \varphi/2) / e^{\gamma \operatorname{tg} \varphi}.$$

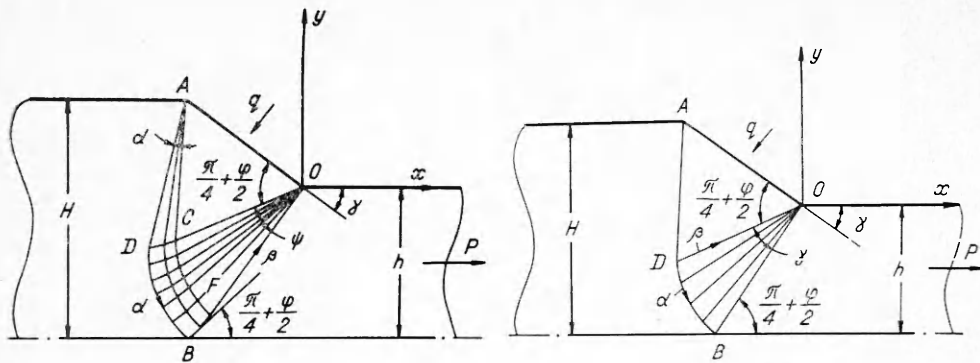


Рис. 3

Рис. 4

Для того чтобы процесс волочения полосы проходил устойчиво, без разрыва правой части, необходимо выполнение условия $p < \sigma_s h$. Откуда с использованием (3.3) и (3.4) получим, что вытяжка осуществима, когда

$$(3.5) \quad \sin \gamma < \frac{\cos \varphi e^{\gamma \operatorname{tg} \varphi}}{(1 + \sin \varphi)^2 + (1 - \sin \varphi) \operatorname{ctg} \varphi e^{2\gamma \operatorname{tg} \varphi} - \operatorname{ctg} \varphi}.$$

Если $\varphi = 0$, то из (3.5) следует, что вытяжка полосы осуществима при углах $\gamma < \gamma_* = 42^\circ$ [3, 4]. С изменением угла внутреннего трения будет изменяться предельный угол γ_* , определяемый неравенством (3.5), а также и максимальная степень деформаций ε_* , получаемая на основе (3.4). В качестве иллюстрации приведем значения γ_* и ε_* для трех углов внутреннего трения:

$$(3.6) \quad \begin{aligned} \varphi = 0, \quad \gamma_* &= 42^\circ, \quad \varepsilon_* = 0,57, \\ \varphi = 10^\circ, \quad \gamma_* &= 36^\circ, \quad \varepsilon_* = 0,47, \\ \varphi = 20^\circ, \quad \gamma_* &= 28^\circ, \quad \varepsilon_* = 0,36. \end{aligned}$$

Из анализа результатов (3.6) видно, что с ростом угла φ диапазон углов γ , для которых вытяжка осуществима, сужается. При этом уменьшается и ε_* . Таким образом, можно сделать вывод, что рост угла внутреннего трения, приводящего к охрупчиванию металла при пластическом течении, ухудшает условия и параметры процесса волочения полосы через короткую матрицу.

Вернемся теперь к рассмотрению общей задачи, когда пластическая зона состоит из областей, указанных на рис. 3. В этом случае решение строится численно на ЭВМ. Используемый метод основан на переходе от дифференциальных соотношений (1.6), (1.7) к конечно-разностным соотношениям и учете тех или иных свойств линий скольжения (в общей форме этот метод развит Массо в 1899 г.) [3].

Разобъем угол γ на $l - 1$ равных частей величиной $\delta = \gamma/(l - 1)$. Без ограничения общности будем рассматривать задачу для углов $\alpha = (m - 1)\delta$ и $\psi = (n - 1)\delta$, поскольку всегда с достаточной степенью точности можно подобрать такое δ за счет выбора l . Из соотношения, полученного ранее для α , ψ и γ , следует, что $n = m + l - 1$. Пусть индекс i постоянен вдоль β -линии, а j — вдоль α -линии, тогда $i = 1, \dots, n$; $j = 1, \dots, m$. Для четырехугольника $CDFB$ имеем начальную характеристическую задачу. В точке пересечения α - и β -линий $\theta_{i,j} = -\pi/4 - \varphi/2 - \gamma + (i - j)\delta$. Заменяя дифференциальные соотношения (1.6) разностными и принимая угол θ равным среднему значению, в исходной и конечной точках можно построить сетку линий скольжения.

Заранее не известное на AO давление q определяется из условия того, что сумма горизонтальных составляющих отдельных усилий на линии OFB равна усилию вытяжки $p = q(H - h)$. В итоге для определенного γ можно численно установить зависимости p и q от $\varepsilon = (H - h)/H$.

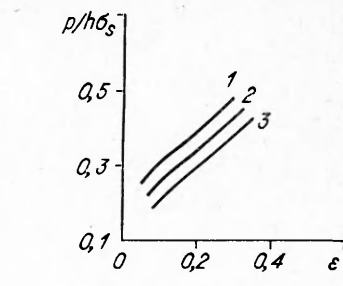
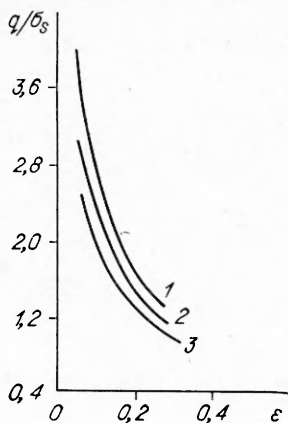


Рис. 6

Рис. 5

На рис. 5 приводятся зависимости q от ϵ для $\gamma = 15^\circ$ и для $\varphi = 10^\circ; 5^\circ; 0$ (кривые 1—3). Крайняя правая точка соответствует аналитическому решению (см. рис. 4), а крайняя левая — началу выдавливания металла с левой стороны от матрицы [3, 4]. Эта критическая точка получается на основе использования решения о сжатии полосы с угловыми вырезами (см. п. 2).

На рис. 6 представлены зависимости p от ϵ для $\gamma = 15^\circ$ и для $\varphi = 10^\circ; 5^\circ; 0$ (кривые 1—3). Опять же крайняя правая точка отвечает аналитическому решению (см. рис. 4), а крайняя левая — началу выдавливания металла слева от матрицы.

Из приведенных на рис. 5 и 6 результатов следует, что увеличение угла внутреннего трения приводит к увеличению как давления на стенки матрицы, так и усилия вытяжки. Из количественного сопоставления решения для определенного γ и разных φ с результатами для различных γ [3, 4] видно, что увеличение φ на 5° соответствует изменению усилия вытяжки и давления на стенки матрицы на такую же величину, как и при изменении угла γ на аналогичный угол.

В заключение отметим, что широко используемый в механике горных пород для полухрупких тел угол внутреннего трения при его незначительной величине для металлов заметно влияет на силовые параметры при пластическом деформировании многих металлических конструкций. Экспериментальные наблюдения на металлах [1, 8] показывают, что наиболее значительно это влияние тогда, когда преобладающими в деформируемом теле являются растягивающие напряжения.

ЛИТЕРАТУРА

1. Надаи А. Пластичность и разрушение твердых тел.— М.: ИЛ, 1954.
2. Коврижных А. М. Пластическое деформирование упрочняющихся материалов при сложном нагружении // Изв. АН СССР. МТТ.— 1986.— № 4.
3. Хилл Р. Математическая теория пластичности.— М.: ГИТТЛ, 1956.
4. Соколовский В. В. Теория пластичности.— М.: Вышш. шк., 1969.
5. Соколовский В. В. Статика сыпучей среды.— М.: Физматгиз, 1960.
6. Drucker D. C., Prager W. Soil mechanics and plastic analysis or limit design // Quart. Appl. Math.— 1952.— V. 10, N 2. Рус. пер.: Определяющие законы механики грунтов.— М.: Мир, 1975.
7. Новожилов В. В. О пластическом разрыхлении // ПММ.— 1965.— Т. 29, вып. 4.
8. Губкин С. И. Пластическая деформация металлов.— М.: Металлургиздат, 1961.— Т. 2.

г. Новосибирск

Поступила 13/IV 1988 г.